

## · 基础研究 ·

# 吡格列酮对糖尿病大鼠氧化应激和肾组织基质积聚的影响

张 红,胡长军,陆卫平

(南京医科大学附属淮安第一医院内分泌科,江苏淮安 223300)

**摘要:**目的 研究吡格列酮对链脲佐菌素(STZ)诱导的糖尿病大鼠氧化应激及肾组织细胞外基质蛋白积聚的影响。方法 将 45 只大鼠随机分为 3 组:正常对照组(NC 组),糖尿病对照组(DM 组),糖尿病吡格列酮治疗组(DP 组)。DP 组给予吡格列酮  $20\text{mg} \cdot \text{kg}^{-1} \cdot \text{d}^{-1}$  灌胃。8 周后观察大鼠肾指数(KI)、尿微量清蛋白(MAU)、肾组织丙二醛(MAD)、过氧化氢酶(CAT)、铜锌超氧化物歧化酶(Cu, Zn-SOD)等,光镜及超微电镜观察肾脏病理形态学改变,免疫组化法观察肾组织 IV 型胶原表达。结果 DM 组大鼠 KI、MAU、肾组织 MAD 水平显著高于 NC 组,并出现典型糖尿病肾病(DN)病理学损害,而 DP 组 KI、MAU、MAD 水平明显下降,差异有统计学意义( $P < 0.01$ );DM 组大鼠肾组织 CAT、Cu-ZnSOD 水平较 NC 组降低( $P < 0.01$ ),DP 组 CAT、Cu-ZnSOD 显著上升( $P < 0.01$ )。DM 组大鼠肾组织 IV 型胶原表达明显增多,DP 组表达显著降低( $P < 0.01$ )。结论 吡格列酮可通过抑制氧化应激反应、减轻细胞外基质积聚,对 DN 起保护作用。

**关键词:**糖尿病肾病;氧化应激;IV 型胶原;吡格列酮

doi:10.3969/j.issn.1671-8348.2012.04.014

文献标识码:A

文章编号:1671-8348(2012)04-0349-03

## Effect of pioglitazone on oxidative stress and accumulation of matrix in diabetic rats

Zhang Hong, Hu Changjun, Lu Weiping

(Department of Endocrinology, Affiliated Huaian No. 1 Hospital, Nanjing Medical University, Huaian, Jiangsu 223300, China)

**Abstract; Objective** To investigate the effect of pioglitazone on oxidative stress and accumulation of matrix in diabetic rats.

**Methods** All rats were randomized into 3 groups: normal control rats(group NC), diabetic rats(group DM), diabetic rats treated with pioglitazone(group DP). After 8 weeks of treatment, the kidney index, microalbuminuria, malondialdehyde, catalase, Cu, Zn superoxide dismutase in nephridial tissue were measured by chromatometry, the pathologic change of kidney was measured. Furthermore, collagen-IV expression in kidney was observed by immunohistochemistry. **Results** The kidney index, microalbuminuria, MDA and the expression Col-IV in group DM were higher significantly than those in the group NC and group DP( $P < 0.01$ ). Moreover, CAT in the group DM was significantly lower than that in the other two groups( $P < 0.01$ ). **Conclusion** Pioglitazone improves diabetic nephropathy through downregulating the expression of TGF- $\beta$ 1 and upregulating MMP-9 in diabetic rats.

**Key words:**diabetic nephropathies; oxidative stress; type IV collagen; pioglitazone

糖尿病肾病(diabetic nephropathy, DN)是糖尿病的慢性微血管并发症之一,也是慢性肾功能衰竭和需要肾脏替代治疗的终末期肾衰(end-stage renal disease, ESRD)的主要原因。细胞外基质蛋白(extracellular matrix, ECM)在肾小球及间质的积聚是 DN 发生的中心环节,从而导致肾小球纤维化硬化的发生<sup>[1]</sup>。Brownlee<sup>[2]</sup>认为氧化应激是引起糖尿病慢性并发症的主要发病机制之一,在 DN 的发生、发展中起重要作用。研究表明,噻唑烷二酮类(thiazolidinediones, TZDs)药物对 DN 具有直接有益的保护作用,本实验以此为依据从生化指标、氧化应激、形态学改变、基质积聚表达等方面,研究吡格列酮(pioglitazone, PIO)对链脲佐菌素(streptozotocin, STZ)诱导的糖尿病大鼠肾脏保护作用及相关机制。

## 1 材料与方法

**1.1 材料** STZ 购自 Sigma 公司,丙二醛(malondialdehyde, MAD)、过氧化氢酶(catalase, CAT)、铜锌超氧化物歧化酶(Cu, Zn superoxide dismutase; Cu, Zn-SOD)由南京建成生物工程研究所提供,大鼠 IV 型胶原(type IV Collagen, Col-IV)抗体购自美国 Santa Cruz 公司,免疫组化二步法试剂盒购自北京中山公司,吡格列酮由江苏恒瑞医药公司提供。

## 1.2 方法

**1.2.1 模型建立和分组** STZ 60 mg/kg 一次性腹腔注射,48 h 测尾静脉血糖,持续大于 16.7 mmol/L 者确定为糖尿病大

鼠;将 SD 大鼠分 3 组:正常对照组(NC 组,15 只);糖尿病对照组(DM 组,15 只);糖尿病 PIO 治疗组(DP 组,15 只): $20\text{mg} \cdot \text{kg}^{-1} \cdot \text{d}^{-1}$  PIO 无菌水混悬液灌胃<sup>[3]</sup>,其余予无菌水灌胃。

**1.2.2 标本收集检测** 8 周末代谢笼收集 24 h 尿,检测尿清蛋白(microalbuminuria, MAU),麻醉腹主动脉采血,检测糖化血红蛋白(HbA1c)、尿素氮(BUN)。肾指数(KI)以肾质量/体质量(g/kg)表示。肾脏称质量后用于 MAD、CAT、Cu 及 Zn-SOD 检测及电镜观察、蜡块制备。化学比色法测定 MDA、CAT 及 Cu, Zn-SOD 含量及活性,步骤按说明书操作。

**1.2.3 免疫组化** Col-IV 采用二步法,步骤按说明书进行,显色强度用 LEICA Qwin 图像系统分析,以光密度(OD)值表示。

**1.3 统计学处理** 用 SPSS13.0 统计软件进行资料分析,计量数据用  $\bar{x} \pm s$  表示,组间比较采用单因素方差分析(ANOVA), $P < 0.05$  为差异有统计学意义。

## 2 结 果

**2.1 生化指标及氧化应激水平结果** DM 及 DP 组 HbA1c 较 NC 组升高,DP 组与 DM 组 HbA1c 比较差异无统计学意义( $P > 0.05$ )。DM 组及 DP 组的 KI、BUN、MAU 均高于 NC 组,DP 组显著低于 DM 组( $P < 0.01$ ),见表 1。

**2.2 肾组织氧化应激水平变化** PIO 治疗后的大鼠,肾组织 CAT 和 Cu, Zn-SOD 水平升高,而 MAD 水平被抑制( $P < 0.01$ ),见表 2。

**2.3 肾组织病理学变化** 光镜下 DM 组大鼠肾小球细胞数显著增多, 肾小球毛细血管狭窄甚至闭塞, 电镜下见肾小球基底膜增厚, 系膜细胞增生, 足突微绒毛化, PIO 治疗后病理学损害明显改善, 见图 1、2。

**2.4 免疫组化** DM 组大鼠肾 Col-IV 在肾小球肾小管表达增多, DP 组大鼠 Col-IV 明显减低 ( $P < 0.01$ ), 见图 3。染色强度 OD 值, 见表 3。

表 1 各组大鼠 HbA1c、BUN、KI、MAU 比较 ( $\bar{x} \pm s$ )

组别	HbA1c(%)	BUN(mmol/L)	KI(g/kg)	MAU( $\mu\text{g}/\text{mg}$ )
NC 组	3.54 ± 0.45	5.76 ± 1.03	3.52 ± 0.39	8.05 ± 2.05
DM 组	7.60 ± 1.19*	18.80 ± 2.87*	8.82 ± 1.30*	118.24 ± 9.48*
DP 组	7.41 ± 0.94	11.05 ± 2.24▲	5.56 ± 0.83▲	68.23 ± 9.64▲

\*:  $P < 0.01$ , 与 NC 组比较; ▲:  $P < 0.01$ , 与 DM 组比较。

表 2 各组大鼠 MAD、CAT、Cu-ZnSOD 比较 ( $\bar{x} \pm s$ )

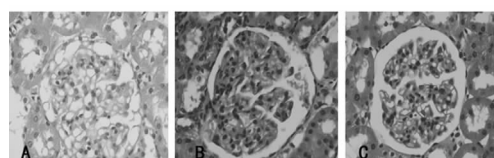
组别	MAD( $\text{mmol}/\text{mg}$ )	CAT(U/mg)	Cu,Zn-SOD(U/mg)
NC 组	6.21 ± 1.56	730.0 ± 69.5	50.5 ± 4.9
DM 组	11.35 ± 2.77*	516.3 ± 59.8*	39.6 ± 5.2*
DP 组	7.81 ± 1.94▲	688.5 ± 78.2▲	46.7 ± 6.1▲

\*:  $P < 0.01$ , 与 NC 组比较; ▲:  $P < 0.01$ , 与 DM 组比较。

表 3 各组大鼠肾组织 IV 型胶原蛋白表达比较 ( $\bar{x} \pm s$ )

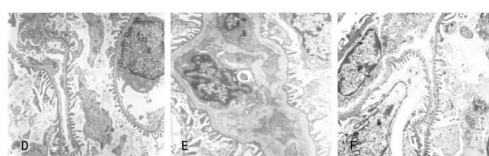
组别	C-IV
NC 组	33.22 ± 5.15
DM 组	70.34 ± 9.51*
DP 组	36.97 ± 7.32▲

\*:  $P < 0.01$ , 与 NC 组比较; ▲:  $P < 0.01$ , 与 DM 组比较。



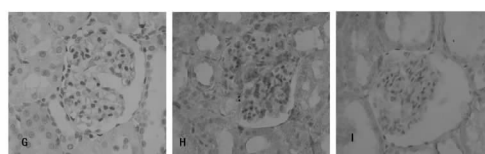
A: NC 组; B: DM 组; C: DP 组。

图 1 各组大鼠肾组织病理形态学变化(HE 染色,  $\times 400$ )



D: NC 组; E: DM 组; F: DP 组。

图 2 各组大鼠肾小球超微结构( $\times 6000$ )



G: NC 组; H: DM 组; I: DP 组。

图 3 大鼠肾组织 Col-IV 免疫组化表达变化(二步法,  $\times 400$ )

### 3 讨 论

随着人们生活水平的提高及人口老龄化生活方式转变等,

糖尿病的患病率迅速增加, 其中 1/3 的患者最终进展为 DN, 由此也导致了 ESRD 的大量增长<sup>[4-5]</sup>。但是 DN 发病机制尚未完全清楚, 其中高血糖对 DN 的影响一直以来是人们关注的重要领域, 长期高血糖引起的多元醇代谢通路的激活、蛋白质的非酶糖化、蛋白激酶 C 过度活化、己糖途径激活、葡萄糖转运蛋白活化等从不同作用环节促进了 DN 的病理进程<sup>[6-7]</sup>。反应性氧簇(reactive oxygen species, ROS)是上述途径发挥作用的主要分子链, 它通过促进 ECM 过表达, 加速肾脏纤维化, 最终导致 ESRD 的发生<sup>[8-9]</sup>。

ROS 是超氧阴离子( $\text{O}_2^-$ )、过氧化氢( $\text{H}_2\text{O}_2$ )和羟自由基( $\text{OH}^-$ )等活性含氧化合物的总称, 氧化应激(oxidative stress, OS)时 ROS 产生增多和/或清除减少, 导致其在体内蓄积而引起的分子、细胞和机体的损伤<sup>[10]</sup>。MAD 是反应机体氧化能力的重要指标, 在 DN 中的作用主要是与糖基化胶原蛋白发生交联反应, 进而影响胶原蛋白的降解, 使 ECM 积聚增加, 加速 DN 进展<sup>[11]</sup>。Col-IV 是肾小球基底膜和 ECM 的主要成分, 故本实验选择 Col-IV 作为 DN 基质积聚的一项研究指标<sup>[12]</sup>。SOD 是体内最重要的抗氧化酶之一, 是清除 ROS 的第一道防线, Cu, Zn-SOD 存在于细胞质中, 其主要作用是清除  $\text{O}_2^-$ , 防止生物膜脂质过氧化损伤, 故 SOD 水平的高低可间接反映机体的抗氧化能力。CAT 活性的降低可间接反映  $\text{H}_2\text{O}_2$  生成的减少, 是反映机体抗氧化能力的重要指标之一<sup>[13]</sup>。

临幊上 PIO 主要用于治疗 2 型糖尿病, 它通过结合并激活过氧化物酶体增殖物激活受体  $\gamma$ (peroxisome proliferator activated receptor, PPAR- $\gamma$ )进而调节与胰岛素效应有关的多种基因的转录, 以此达到降低血糖的目的。PPAR- $\gamma$  除在胰岛素主要作用靶组织表达外, 还表达于单核/吞噬细胞、血管内皮细胞、血管平滑肌细胞、肾小球系膜细胞及上皮细胞等, 它可以抑制成纤维细胞增殖和巨噬细胞浸润、抑制炎症介质, 调节系膜细胞增殖和分化、抑制血管活性物质合成, 提示 PIO 直接的肾脏保护作用可能与上述机制有关<sup>[14]</sup>。

本试验结果显示, 8 周时 DM 组大鼠的 MAU、KI、BUN 增加 ( $P < 0.01$ ), 即出现肾脏肥大, 尿蛋白排泄增加, 病理形态上显示毛细血管狭窄或闭塞, 系膜细胞增生, 肾小球基底膜增厚, 足突微绒毛化, 说明模型已出现 DN 典型的功能改变及病理学异常。DM 组大鼠肾组织中 MDA 含量明显高于 NC 组, 而 Cu, Zn-SOD 和 CAT 活性明显下降 ( $P < 0.01$ ), 说明糖尿病大鼠肾组织氧化效应增强, 抗氧化能力下降, 即氧化应激反应出现。PIO 治疗 8 周后的 DP 组大鼠, 肾脏肥大减轻, 尿蛋白排泄减少, 病理学损害改善, 同时 MAD 水平下降, Cu, Zn-SOD 和 CAT 活性增强 ( $P < 0.01$ )。免疫组化结果显示, DM 组大鼠 Col-IV 蛋白在肾小球表达增多, PIO 治疗后, Col-IV 表达减少 ( $P < 0.01$ ), 而 HbA1c 并未降低 ( $P > 0.05$ ), 说明 PIO 治疗可通过下调 MDA 水平、提高 Cu, Zn-SOD 和 CAT 的活性, 有效地抑制基质积聚, 进而延缓 DN 病理学进程, 而且这种作用并未依赖血糖水平的降低。

综上所述, PIO 具有 DN 的保护作用, 它可以通过抑制氧化应激介导的基质积聚而实现, 且这种作用并不依赖血糖水平的降低, 具有直接的肾脏保护作用。研究表明, TZDs 同时具有控制血糖、调节血压、改善血脂、抑制细胞周期进展、调节细胞因子及炎性因子表达等作用<sup>[15]</sup>。关于 PIO 的 DN 保护作用需要更多的研究证实。

### 参考文献:

- [1] Han SY, Jee YH, Han KH, et al. An imbalance between

- matrix metalloproteinase-2 and tissue inhibitor of matrix metalloproteinase-2 contributes to the development of early diabetic nephropathy [J]. *Nephrol Dial Transplant*, 2006, 21(9):2406-2416.
- [2] Brownlee M. Biochemistry and molecular cell biology of diabetic complications[J]. *Nature*. 2001, 414(6865):813-820.
- [3] 李红, 郑芬萍, 阮昱, 等. 吡格列酮对糖尿病大鼠肾皮质 TGF- $\beta$  基因表达的抑制作用[J]. 中华内分泌代谢杂志, 2003, 19(3):238-239.
- [4] Schernthaner G. Kidney disease in diabetology: lessons from 2009 [J]. *Nephrol Dial Transplant*, 2010, 25(2):360-363.
- [5] Biesenbach G. Highest mortality during the last year before and the first year after start of dialysis treatment in type 2 diabetic patients with nephropathy[J]. *Curr Diabetes Rev*, 2007, 3(2):123-126.
- [6] Abe H. Recent progress in understanding the molecular pathogenesis of diabetic nephropathy[J]. *Rinsho Byori*, 2011, 59(2):179-186.
- [7] Chang CC, Chang CY, Wu YT, et al. Resveratrol retards progression of diabetic nephropathy through modulations of oxidative stress, proinflammatory cytokines, and AMP-activated protein kinase[J]. *J Biomed Sci*, 2011, 18(1):47.
- [8] Choudhury D, Tuncel M, Levi M. Diabetic nephropathy—a multifaceted target of new therapies[J]. *Discov Med*, 2010, 10(54):406-415.
- [9] Kashihara N, Haruna Y, Kondeti VK, et al. Oxidative stress in diabetic nephropathy[J]. *Curr Med Chem*, 2010, 17(34):4256-4269.
- [10] Ray G, Husain SA. Oxidants, antioxidants and carcinogenesis[J]. *Indian J Exp Biol*, 2002, 40(11):1213-1232.
- [11] Agawwal R. Smoking, oxidative stress and inflammation: impact on resting energy expenditure in diabetic nephropathy[J]. *BMC Nephrol*, 2005, 6(11):13-22.
- [12] Guo B, Koya D, Isono M, et al. Peroxisome proliferator-activated receptor gamma ligands inhibit TGF- $\beta_1$ -induced fibronectin expression in glomerular mesangial cells[J]. *Diabetes*, 2004, 53(1):200-208.
- [13] Forbes JM, Coughlan MT, Cooper ME. Oxidative stress as a major culprit in kidney disease in diabetes[J]. *Diabetes*, 2008, 57(6):1446-1454.
- [14] de Pablos-Velasco P. Pioglitazone: beyond glucose control [J]. *Expert Rev Cardiovasc Ther*, 2010, 8(8):1057-1067.
- [15] Biscetti F, Straface G, Pitocco D, et al. Peroxisome proliferator-activated receptors and angiogenesis [J]. *Nutr Metab Cardiovasc Dis*, 2009, 19(11):751-759.

(收稿日期:2011-03-16 修回日期:2011-05-22)

(上接第 348 页)

- with hyperbaric oxygen therapy[J]. *Int Orthop*, 2009, 33(2):441-446.
- [4] 帕丽且, 吉米兰木, 地丽达尔. 高压氧综合治疗糖尿病足的临床疗效观察[J]. 中华航海医学与高气压医学杂志, 2008, 15(4):248-249.
- [5] Kalani M, Jörneskog G, Naderi N, et al. Hyperbaric oxygen(HBO)therapy in treatment of diabetic foot ulcers[J]. *J Diabetes Complications*, 2002, 16(2):153-158.
- [6] Kang TS, Gorti GK, Quan SY, et al. Effect of hyperbaric oxygen on the growth factor profile of fibroblasts [J]. *Arch Facial Plast Surg*, 2004, 6(1):31-35.
- [7] Norgauer J, Hildenbrand T, Idzko M, et al. Elevated expression of extracellular matrix metalloproteinase inducer (CD147) and membrane-type matrix metalloproteinases in venous leg ulcers[J]. *Br J Dermatol*, 2002, 147(6):1180-1186.
- [8] Mutsaers SE, Bishop JE, McGrouther G, et al. Mechanisms of tissue repair: from wound healing to fibrosis[J]. *Int J Biochem Cell Biol*, 1997, 29(1):5-17.
- [9] Abidia A, Laden G, Kuhan G, et al. The role of hyperbaric oxygen therapy in ischaemic diabetic lower extremity ulcers: a double-blind randomized-controlled trial[J]. *Eur J Vasc Endovasc Surg*, 2003, 25(6):513-518.
- [10] Kessler L, Bibault P, Ortéga F, et al. Hyperbaric oxygenation accelerates the healing rate of nonischemic chronic

diabetic foot ulcers: a prospective randomized study[J]. *Diabetes Care*, 2003, 26(8):2378-2382.

- [11] Shyu KG, Hung HF, Wang BW, et al. Hyperbaric oxygen induces placental growth factor expression in bone marrow-derived mesenchymal stem cells[J]. *Life Sci*, 2008, 83(1/2):65-73.
- [12] Kuboki K, Jiang ZY, Takahara N, et al. Regulation of endothelial constitutive nitric oxide synthase gene expression in endothelial cells and in vivo: a specific vascular action of insulin[J]. *Circulation*, 2010, 101(6):676-681.
- [13] Schwentker A, Billiar TR. Nitric oxide and wound repair [J]. *Surg Clin North Am*, 2003, 83(3):521-530.
- [14] Boykin JV Jr, Baylis C. Hyperbaric oxygen therapy mediates increased nitric oxide production associated with wound healing: a preliminary study[J]. *Adv Skin Wound Care*, 2007, 20(7):382-388.
- [15] Chen SJ, Yu CT, Cheng YL, et al. Effects of hyperbaric oxygen therapy on circulating interleukin-8, nitric oxide, and insulin-like growth factors in patients with type 2 diabetes mellitus[J]. *Clin Biochem*, 2007, 40(1/2):30-36.
- [16] Shi HP, Most D, Efron DT, et al. Supplemental L-arginine enhances wound healing in diabetic rats[J]. *Wound Repair Regen*, 2003, 11(3):198-203.

(收稿日期:2011-05-09 修回日期:2011-07-22)